



دانشکده علوم
گروه شیمی

پایان نامه جهت دریافت درجهٔ کارشناسی ارشد شیمی
گرایش کاربردی

عنوان

مطالعه خوردگی قطعات مسی، آلومینیومی و فولادی در برخی از مخلوط‌های
سورفکتانتی آلی و معدنی به کار رفته در تمیز کننده‌های اولتراسونیکی

استاد راهنما
دکتر علی حسن زاده و دکتر سیروس نوری

پژوهشگر
سید محمد حسن زاده

۱۳۹۰ بهمن

بِسْمِ اللّٰهِ الرَّحْمٰنِ الرَّحِيْمِ

پروردگار اسکندر م

الهی، جانم وزبانم تو دادی، جان در پرده غیرت، نان در طبق رحمت وزبان در کام حیرت تو آوردی. از همان خاذ حاکم به سرای آب و خاک تو آوردی. الهی، تخم روزی تو پرگلندی و دان عشق بر سر راه تو افندی و دل را زنور عشق تو اگندی. کم کشته ای را تو پیدا کردی، بی نوایی را تو شیدا کردی و شورها تو برقا کردی. از ظلمت بعد ایم توجدا کردی و با خلوت آشنایم تو آشنا کردی و از بند خویشم تو رها کردی. الهی مراد حاک خرابات تو سرستی و بر لوح جانم حرف و آیات تو نوشتی. یار تو بی و یار پرستم تو کردی.

این کار علمی را با خشوع و خضوع تمام تقدیم میکنم به

مادر هم‌بانم

که در تمامی مراحل زندگی یار و همراه همیشگی من بودند و به لطف کمک های معنوی و مادی ایشان بود که بنده توانستم مسیر زندگی را با سرblندی و عزت طی کنم.

تقدیر و تشکر می کنم از تمامی معلمان و مربیان گرامی در دوران تحصیلات ابتدائی، راهنمایی و دبیرستان که آموزش های علمی و اخلاقی آن بزرگواران چراغ راه زندگی بنده بود.

از تمامی عزیزانی که مرا در آغاز و انجام این کار پژوهشی حاضر یاری نمودند تشکر می کنم و برای ایشان آرزوی توفيق و بهروزی دارم.

از اساتید محترم دانشگاه ارومیه، دانشکده علوم، گروه شیمی سپاسگزارم.

جناب آقای دکتر حسن زاده و جناب آقای دکتر نوری اساتید راهنمای ارجمند بنده که در تمام این دو سال همراهی وجود گران بهای ایشان هم در مسیر علمی و هم در مسیر اخلاقیات کمال سعادت بنده بوده و خواهد بود. از درگاه ایزد منان برای این بزرگواران آرزوی توفيق روزافزون دارم.

چکیده

خوردگی قطعات استنلی استیل در محلولهای قلیائی حاوی سورفکتانتها (TX-100 و SLS) و الکلهای دو عاملی و تک عاملی (اتیلن 1 308، مس و آلومینیوم گیلکول واتانول) و بازدارنده های معدنی (سدیم دی کرومات، سدیم کربنات ، هیدرازین، سدیم سیلیکات، سدیم سولفات) وآلی (بنزوتیریازول، تری فنیل فسفات) در غیاب و در حضور امواج اولتراسونیک مطالعه شد. نتایج نشان داد که در pHهای با قلیائیت کم، امواج اولتراسونیک بر روی سرعت خوردگی فلزات مذکور تاثیر بیشتری داشته است و استفاده از سورفکتانتهاهای غیریونی به جای سورفکتانتهاهای یونی، در این محلولها، برای کاهش سرعت خوردگی پیشنهاد می شود. بازدارنده های آندی سرعت خوردگی را در داخل حمام اولتراسونیک بیشتر می کند و بازدارنده های کاتدی که در حذف اکسیژن محلول دخالت دارند، اثر مطلوبتری را در پایین آوردن سرعت خوردگی وجود می آورند

فهرست عناوین

۱	۱-۱- مقدمه
۲	۱-۲- طبقه بندی اجزاء شیمیایی یک پاک کننده
۳	۱-۳- تمیز کردن سطح
۴	۱-۴- طبقه بندی آلینده ها
۵	۱-۵- تعریف اولتراسونیک
۶	۱-۶- تئوری برای امواج صوتی
۷	۱-۷- تولید امواج صدا
۸	۱-۸- مزایای تمیز کاری اولتراسونیکی
۹	۱-۹- مضرات تمیز کاری اولتراسونیکی
۱۰	۱-۱۰- موادی که میتوان توسط دستگاه اولتراسونیک تمیز کرد
۱۱	۱-۱۱- تمیز کردن اولتراسونیکی
۱۲	۱-۱۲- انتخاب مناسب ترین فرکانس
۱۳	۱-۱۳- انتخاب فرکانس های مختلف در دسترسی به تمیزکاری بالا
۱۴	۱-۱۴- مکانیسم عمل پاک کننده های اولترا سونیکی
۱۵	۱-۱۵- ۱-۹-۵- کویتاسیون
۱۶	۱-۱۶- ۲-۹-۵- جریان آکوستیک
۱۷	۱-۱۷- ۱۰-۵- کویتاسیون سنج
۱۸	۱-۱۸- ۱۱-۵- فرسایش اولتراسونیکی
۱۹	۱-۱۹- ۶- سورفکتانت
۲۰	۱-۲۰- ۱-۶- ساختار سورفکتانت ها
۲۱	۱-۲۱- ۲-۶- تقسیم بندی سورفکتانت ها از لحاظ ساختار
۲۲	۱-۲۲- ۳-۶- تقسیم بندی شیمیایی سورفکتانت ها
۲۳	۱-۲۳- ۴-۶- ۱- غلظت بحرانی مایسل CMC
۲۴	۱-۲۴- ۴-۶- ۱- عوامل مؤثر بر CMC
۲۵	۱-۲۵- ۴-۶- ۲- روشهای معمول در تعیین CMC
۲۶	۱-۲۶- ۵-۶- طبقه بندی سورفکتانتها از لحاظ پارامترهایی مانند HLB و Kraft temperature
۲۷	۱-۲۷- ۶- ۷- دمای کرافت
۲۸	۱-۲۸- ۷- ۷- تعریف خوردگی

۲۵	۱-۷-۱- اهمیت مطالعه خوردگی
۲۵	۱-۷-۲- روش علمی مطالعه خوردگی
۲۵	۱-۷-۳- تقسیم بندی خوردگی
۲۶	۱-۷-۴- تقسیم بندی خوردگی تر
۲۶	۱-۷-۵- رو شهای ارائه نتایج حاصل از خوردگی
۲۸	۱-۷-۶- بازدارنده های خوردگی
۲۹	۱-۷-۷-۱- بازدارنده های آندی
۳۰	۱-۷-۷-۲- غلظت مجاز برای بازدارنده ها
۳۱	۱-۷-۷-۳- بازدارنده های کاتدی
۳۱	۱-۷-۷-۴- بازدارنده های آلی دارای نقش مضاعف
۳۱	۱-۷-۷-۵- بازدارنده های مختلط
۳۱	۱-۷-۷-۶- بازدارنده های گازی
۳۲	۱-۸- تکنیک های الکتروشیمیابی
۳۲	۱-۸-۱- پلاریزاسیون غلظتی
۳۴	۱-۸-۲- پلاریزاسیون سنتیکی
۳۷	۱-۸-۳- رفتار پلاریزاسیون آندی
۳۸	۱-۸-۴- نمودارهای پلاریزاسیون
۳۹	۱-۸-۵- پتانسل مدار باز (OCP)
۴۰	۱-۸-۶- روش برون یابی تافلی
۴۰	۱-۸-۷- خطاهای نمودار تافلی
۴۱	۱-۸-۸-۱- اسکن پتانسیوداینامیک (PDS)
۴۱	۱-۸-۸-۲- نمودار اسکن پتانسیوداینامیک آندی
۴۲	۱-۹- اهداف این پایاننامه
۴۴	۲-۱- اجزاء سازنده دترنجنت تهیه شده شامل
۴۴	۲-۱-۱- ۱- جزء سازنده (a)
۴۵	۲-۱-۱-۲- ۱- سدیم هیدروکسید
۴۵	۲-۱-۲- کلردهای NaOH
۴۶	۲-۲- جزء سازنده (b)
۴۶	۲-۲-۱- سدیم دودسیل سولفات (SDS)
۴۷	۲-۲-۲- تریتون X-100

۴۸	۳-۲- جزء سازنده (c)
۴۸	۲- ۱-۳- دی اتیلن گیلکول
۴۹	۲- ۴- جزء سازنده (d)
۴۹	۲- ۵- جزء سازنده (e)
۵۰	۲- ۶- تست حلالیت اجزاء سازنده (۰۱ دقیقه بعد از ترکیب شدن)
۵۰	۲- ۱-۶- معیارهای حلالیت
۵۰	۲- ۲-۶- تست حلالیت اجزاء سازنده (بعد از ۲۴ ساعت)
۵۲	۲- ۸- دستگاههای مورد استفاده
۵۳	۳- ۱- مواد و محیطهای به کار رفته
۵۵	۳- ۲- نتایج حاصل از محلولهای اولیه برای الکترود کربن استیبل
۵۶	۳- ۳- نتایج حاصل از محلولهای اولیه برای الکترود مس
۵۷	۳- ۴- تاثیر امواج اولتراسونیک در میزان خورندگی محیط
۵۸	۳- ۵- اثر افزایش غلظت سورفتانات
۶۴	۳- ۶- اثر افزایش غلظت الكل
۷۰	۳- ۷- تاثیر افزایش غلظت NaOH
۷۶	۳- ۸- اهمیت به حداقل رساندن اکسیژن محلول
۷۸	۳- ۱-۸- چندین روش حذف O ₂
۸۰	۳- ۹- استفاده از بازدارنده های خوردگی
۸۳	۳- ۱۰- ۳- خواص ویژه DEHA
۸۳	۳- ۱- ۱۰- حذف اکسیژن
۸۳	۳- ۲- ۱۰- پسیو نمودن سطح فلز
۸۵	۳- ۱۱- نتایج
۸۶	۳- ۱۲- پیشنهادات
۸۷	منابع

فهرست شکل‌ها

۴	شکل ۱-۱: تولید امواج صوتی رویدادهای شوکی و حرکات ارتعاشی
۵	شکل ۱-۲: نمایش چگونگی تولید امواج صدا با استفاده از یک فر [۴]
۶	شکل ۱-۳: (a) شستشوی اولتراسونیک (b) شست و شو با دست (c) بخار شویی (d) حرکت شدید در آب (e) اسپری

..... ۷ شکل ۱-۴: هزینه تمیز کردن تخته مدار دستگاه چاپ توسط الکل در مقایسه با دستگاه اولتراسونیک
..... ۷ شکل ۱-۵: تماس شوینده با سطح آلوده
..... ۸ شکل ۱-۶: لایه اشباع حلال و توقف تمیز کننده گی
..... ۸ شکل ۱-۷: جابجا شدن لایه اشباع توسط کویتاسیون
..... ۸ شکل ۱-۹: تأثیر پدیده کویتاسیون در سست کردن نیروهای مستحکم ذرات آلینده
..... ۸ شکل ۱-۸: آلودگی سطح با ذراتی که چسبندگی بالای دارند
..... ۹ شکل ۱-۱۰: کارآمدی اولتراسونیک در پاک سازی سطوح خشن
..... ۱۱ شکل ۱-۱۱: تشکیل، رشد و فروپاشی حباب
..... ۱۲ شکل ۱-۱۲: شماتیک کویتاسیون و جریان آکوستیک
..... ۱۲ شکل ۱-۱۳: قدرت کویتاسیونی تابعی از فرکانس
..... ۱۳ شکل ۱-۱۴: فراوانی حباب ها در فرکانس های متغیر
..... ۱۴ شکل ۱-۱۵: کویتاسیون سنج
..... ۱۷ شکل ۱-۱۶: خوردگی آلومینیوم ، میکروسکوپ الکترونیکی، برش عرضی هر عکس معادل ۱۰۰ میکرون [۹]
..... ۱۷ شکل ۱-۱۷: ساختار کلی سورفکتانت
..... ۲۰ شکل ۱-۱۹: نحوه قرار گیری سورفکتانت ها در محیط آبی
..... ۲۰ شکل ۱-۱۸: بخش قطبی سورفکتانت در تماس با آب و بخش غیر قطبی در تماس با روغن
..... ۲۱ شکل ۱-۲۰: تشکیل مایسل
..... ۲۲ شکل ۱-۲۱: شماتیک مایسل نرمال و معکوس
..... ۲۴ شکل ۱-۲۲: غلظت بحرانی مایسل و تغییر ناگهانی خصوصیات محیط
..... ۲۵ شکل ۱-۲۳: نمودار مربوط به دمای کرافت سورفکتانت
..... ۲۹ شکل ۱-۲۴: تجسم عملکرد انواع بازدارنده های خوردگی (a) آندی (b) کاتدی (c) مختلط
..... ۳۰ شکل ۱-۲۵: نمایش تغییر نقصان وزن بک نمونه فولاد کریں دار در آب در درجه حرارت معمولی، نسبت به غلظت انواع بازدارنده ها به صورت نمک سدیم
..... ۳۳ شکل ۱-۲۶: تجسم ورقه الکترود ولایه پخش نرنست و تجسم چگونگی تغییر غلظت از سطح الکترود تا بطن محلول
..... ۳۵ شکل ۱-۲۷: تجسم شدت جریان تعویض I_0 و شدت جریانهای جزئی کاتدی و آندی، در مورد الکترودهای در حال تعادل $I_{c,0}$ و $I_{a,0}$ و همچنین تجسم جریانهای آندی و کاتدی عبور کرده یعنی I_C و I_A
..... ۳۶ شکل ۱-۲۸: نمایش تغییرات $\log E$ نسبت به E ، در مورد الکترودی که توسط محیط بر وفق رابطه تافل خوردگی شود و همچنین تجسم مقادیر E_0 و E_0 در موردی که فلز، خوردگ نمی شود و در حال تعادل است
..... ۳۸ شکل ۱-۲۹: رفتار پلاریزاسیون آندی، رفتار فعل و فعل - رویین
..... ۳۸ شکل ۱-۳۰: خلاصه ای از روشهای الکتروشیمی به کار در بررسی فرآیندهای خوردگی
..... ۳۹ شکل ۱-۳۱: رفتار OCP فولاد آستانیتی ۳۰۴ در محیطهای مختلف [۱۱]

- ۴۰ شکل ۱-۳۲: نمودار پلاریزاسیون استیل در درون محلول اسیدی هوازدایی شده و pH=5 و دمای 25°C . [13].
- ۴۱ شکل ۱-۳۳: نمودار اسکن پتانسیویدینامیک آندی.
- ۴۳ شکل (۱-۳۳) رفتار حل شدن مافوق رویین [۱۴].
- ۴۳ شکل ۱-۳۴: نمودار اسکن پتانسیویدینامیک کاتدی.
- ۴۵ شکل ۲-۱: ساختار شیمیایی سدیم هیدروکسید .
- ۴۷ شکل ۲-۲: ساختار شیمیایی سدیم دودسیل سولفونات (SDS).
- ۴۸ شکل ۲-۳: ساختار شیمیایی Tritonx-100.
- ۴۹ شکل ۴-۲: ساختار شیمیایی اتیلن گیلکول.
- ۵۳ شکل ۳-۱: نمونه الکترود فولادی استفاده شده.
- ۵۷ شکل ۳-۲: نمودارهای پلاریزاسیون مس و کربن استیل در حضور و بدون حضور امواج اولتراسونیک.
- ۶۰ شکل ۳-۳: نمودارهای پلاریزاسیون الکترود کربن استیل در غلظت های مختلف سورفکتانت sls.
- ۶۰ شکل ۳-۲: نمودارهای پلاریزاسیون الکترود مس در غلظت های مختلف سورفکتانت sls.
- ۶۲ شکل ۳-۴: نحوه اتصال مولکولهای تریتیون-x به فلز آهن.
- ۶۲ شکل ۳-۵: طیف EDX، برای محلولهای قلیایی، (a) بدون TritonX-100 و (b)، 0.19 g L^{-1} (c)، 0.05 g L^{-1} .
- ۶۳ شکل ۳-۷: نمودارهای پلاریزاسیون الکترود مس در غلظتهای مختلف سورفکتانت Triton X-100.
- ۶۴ شکل ۳-۶: نمودارهای پلاریزاسیون کربن استیل در غلظتهای مختلف سورفکتانت Triton X-100.
- ۶۴ شکل ۳-۹: مقایسه سرعت خوردگی مس و کربن استیل در غلظتهای مختلف Triton X-100.
- ۶۴ شکل ۳-۸: مقایسه سرعت خوردگی مس و کربن استیل در غلظتهای مختلف SLS.
- ۶۶ شکل ۳-۱۱: نمودارهای پلاریزاسیون الکترود مس در غلظتهای مختلف اتین گیلکول.
- ۶۶ شکل ۳-۱۰: نمودارهای پلاریزاسیون مس در غلظتهای مختلف اتانول.
- ۶۷ شکل ۳-۱۴: نمودارهای پلاریزاسیون کربن استیل در غلظتهای مختلف اتانول.
- ۶۷ شکل ۳-۱۳: نمودارهای پلاریزاسیون کربن استیل در غلظتهای مختلف اتین گیلکول.
- ۶۸ شکل ۳-۱۶: مقایسه سرعت خوردگی مس در غلظتهای مختلف اتانول و اتین گیلکول.
- ۶۸ شکل ۳-۱۵: مقایسه سرعت خوردگی مس در غلظتهای مختلف اتانول و اتین گیلکول.
- ۷۱ شکل ۳-۱۸: نمودارهای پلاریزاسیون کربن استیل در غلظتهای مختلف NaOH.
- ۷۲ شکل ۳-۱۷: نمودارهای پلاریزاسیون مس در غلظتهای مختلف NaOH.
- ۷۲ شکل ۳-۱۹: مقایسه سرعتهای خوردگی مس و کربن استیل در غلظتهای مختلف NaOH.
- ۷۴ شکل ۳-۲۰: نمایش شماتیک مراحل خوردگی حبابی.
- ۷۶ شکل ۳-۲۱: مراحل نفوذ گاز محلول به داخل حباب.
- ۷۷ شکل ۳-۲۲: نمایش تغییر سرعت خوردگی نسبت به انواع فلوهای محیط خورنده.
- ۷۹ شکل ۳-۲۳: نمودارهای پلاریزاسیون الکترود مس در محلولهایی با 50 ppm از ۳ نوع اکسیژن زدا.

..... ۷۹	شکل ۲۴-۳: نمودارهای پلاریزاسیون الکترود کربن استیل در محلول هایی با ppm ۵۰ از بعضی اکسیژن زدا
..... ۸۱	شکل ۲۵-۳: نمودارهای پلاریزاسیون الکترود کربن استیل در غلظت ppm ۱۰۰ از بعضی بازدارنده های خوردگی
..... ۸۲	شکل ۲۶-۳: نمودارهای پلاریزاسیون کربن استیل در ۱۰۰ ppm از اکسیژن زدا، در حضور و عدم حضور کویاتاسیون
..... ۸۴	شکل ۲۷-۳: نمودارهای پلاریزاسیون مس در حضور اکسیژن زداها و بنزوتریاژول در داخل و خارج از حمام اولتراسونیک

فهرست جداول

..... ۵۱	جدول ۱-۲: ترکیب محلولهای تهیه شده برای استفاده در حمام اولتراسونیک
..... ۵۴	جدول ۱-۱: در صد عناصر آلیاژی فولاد زنگ نزن آستینیتی نوع ۳۰۸L
..... ۵۴	جدول ۱-۲: خواص مکانیکی فولاد زنگ نزن آستینیتی نوع ۳۰۸L [۱۵]
..... ۵۸	جدول ۱-۳: ترکیب محلولهای شوینده با غلظت متغیر سورفتانت آئیونی
..... ۵۸	جدول ۱-۴: ترکیب محلولهای شوینده با غلظت متغیر سورفتانت غیر یونی
..... ۵۹	جدول ۱-۵: نتایج بدست آمده از بررسی نمودارهای پلاریزاسیون الکترود کربن استیل در اثر تغییرات غلظت سورفتانت آئیونی (SLS)
..... ۶۱	جدول ۱-۶: نتایج بدست آمده از بررسی نمودارهای پلاریزاسیون الکترود کربن استیل در اثر تغییرات غلظت سورفتانت غیر یونی TritonX-100 ...
..... ۶۵	جدول ۱-۷: نتایج به دست آمده از بررسی نمودارهای پلاریزاسیون مس در غلظتهای مختلف اتیلن گیلکول و اتانول
..... ۶۵	جدول ۱-۸: نتایج به دست آمده از بررسی نمودارهای پلاریزاسیون کربن استیل در غلظتهای مختلف اتیلن گیلکول و اتانول
..... ۷۰	جدول ۱-۹: نتایج بدست آمده از بررسی نمودارهای پلاریزاسیون کربن استیل در غلظتهای مختلف از NaOH
..... ۷۱	جدول ۱-۱۰: نتایج به دست آمده از بررسی نمودارهای پلاریزاسیون مس در غلظتهای مختلف NaOH
..... ۷۵	جدول ۱-۱۱: نتایج به دست آمده از بررسی نمودارهای پلاریزاسیون الکترود کربن استیل
..... ۷۵	جدول ۱-۱۲: نتایج بدست آمده از بررسی نمودارهای پلاریزاسیون الکترود مس
..... ۷۸	جدول ۱-۱۳: نتایج بدست آمده از بررسی نمودارهای پلاریزاسیون الکترودهای مس و کربن استیل در غلظتهای ppm ۵۰ از ۳ نوع اکسیژن زدا ...
..... ۸۱	جدول ۱-۱۴: نتایج بدست آمده از بررسی نمودارهای پلاریزاسیون الکترود کربن استیل در حضور ppm ۱۰۰ از چند نوع بازدارنده های خوردگی
..... ۸۲	جدول ۱-۱۵: نتایج بدست آمده از بررسی نمودارهای پلاریزاسیون کربن استیل در محلولهایی با ppm ۱۰۰ اکسیژن زداها، در حضور و عدم حضور کویاتاسیون
..... ۸۴	جدول ۱-۱۶: نتایج بدست آمده برای الکترود مس در غلظتهای مختلف از اکسیژن زداها و بازدارنده خوردگی در داخل و خارج از حمام اولتراسونیک

فصل اول

مقدمه و کلیات

۱-۱- مقدمه

نشانه های به جا مانده از مصر باستان حاکی از آن است که در آن زمان عامل شوینده یک جفت پای فرو برده درآب بود زیرا در آن زمان راه مطلوب برای شستن لگدکوب کردن آنها بود. فولنسهای رم قدیم در آمدشان را بوسیله شستن لباسها با پاها یشان به دست می آوردن. فرآیند شستشو در آن زمان خیلی ساده بود . رختشویخانه ها از هر نوع، یک رفتار صرفاً مکانیکی شامل: ضربه زدن، لگد کوب کردن، سائیدن و روش های متشابه آن داشتند. از زمانهای خیلی دور شناخته شده بود که به هر حال قدرت شویندگی آب ممکن است از راه های مختلف افزایش یابد به عنوان مثال مشخص شد که آب باران از آب معمولی برای شستشو بسیار مناسب تر است. همچنین آب گرم قدرت شویندگی بیشتری از آب سرد دارد و افزایش دما به نظر می رسد اثر آب را بهبود بخشد.

صابون به عنوان قدیمی ترین ماده فعال سطحی می باشد که کسی دقیقاً نمی داند که برای اولین بار کی و کجا در جامعه بشری پدید آمده است اما از حدود ۵۰۰۰ سال قبل، از خاکستر چوب و چربی حیوانات تهیه می شده است. فنیقی ها در حدود ۶۰۰ سال قبل از میلاد صابون را از چربی بز و خاکستر چوب تهیه می کردند. در دوران حکومت امپراتوران روم، صابون کاملاً شناخته شده بود و خرابه های یک کارگاه صابون سازی که قدمت آن به ۲۰۰۰ سال قبل می رسد، از خاکبرداری پمپئی ایتالیا کشف شده است. اسپانیا یهها روغن زیتون و انگلیسیهها روغن نهنگ را برای ساختن صابون بکار می برند.

تا اوایل قرن هجدهم صنعت صابون سازی در مقیاس وسیع هنوز شروع نشده بود و قبل از آن صابون سازی به صورت صنعت روستایی با وسایل ابتدایی و تولید اندک در دنیا رواج داشت. تا سال ۱۹۳۸ همه گونه صابون بوسیله فرآیند کتری تولید می شد که این فرآیند مستلزم جوشانیدن چربی ها و روغن ها با

سود سوزآور بود روشی که لوبلان بر ای تهیه سود سوزآور از آب نمک ابداع کرده تولید صابون را از یک صنعت دستی به یک صنعت کارخانه ای تبدیل کرد. این روش باعث شد صابون به قیمتی فروخته شود که اکثر مردم بتوانند آن را بخرند و در واقع این شروع صنعت صابون سازی مدرن در عصر حاضر بود. از آن زمان به بعد صنعت شستشو به صورت چشمگیری پیشرفت کرد و با گسترش صنایع مختلف و نیاز روزافزون این صنایع به تمیز کنندگی و پاکیزگی سطوح، شیوه های نوین شستشو جایگزین روشهای فرسوده و قدیمی شدند. از تمیز کردن اولتراسونیکی به مدت چند دهه است که در تمیز کردن میکروالکترونیکها، هارد دیسک درایورها، تجهیزات پزشکی، دندان پزشکی، زیست پزشکی، قطعات خودرو، عدسی ها و جواهر آلات استفاده می شود. در واقع انرژی اولتراسونیکی با بوجود آوردن پدیده ای به نام کویتاسیون، مالش هایی را به سطح فلز وارد می کند و باعث آزاد سازی سطح از آلاینده ها می شود. با این حال در تمیز کاری اولتراسونیکی پارامترهای بیشتری دارند که برای رسیدن به یک سطح بهینه تمیز کاری باید توجه ویژه به آنها کرد. از جمله این شرایط عبارت هستند از: طراحی ماشین اولتراسونیک، فرکانس صوتی ، قدرت صوتی، حلال شیمیایی مناسب.

۱-۲- طبقه بندی اجزاء شیمیایی یک پاک کننده

۱. سورفکتانتها (مواد فعال سطحی یا مواد مؤثر)

۲. سازنده ها (پرکننده ها)

۳. مواد متفرقه

سورفکتانت ها به عنوان عامل خیس کننده عمل کرده کشش سطحی آب را کم می کنند در نتیجه آب، بهتر آلودگی ها را حل می کند. این مواد همچنین ذرات کثیف و آب را به یکدیگر اتصال می دهند.

سازنده ها نقش اصی در شوینده ها دارند و عامل جدا کنندگی هستند. سازنده ها، یون های منیزیم و کلسیم موجود در آب سخت را به شکل یون های بزرگ محلول در آب در می آورند، مواد سازنده خاصیت قلیائی در آب ایجاد می کنند و مانع از نشست مجدد آلودگی ها می شوند.

شوینده ها دارای مواد دیگر مختلفی از قبیل برآق کننده ها، عطرها، عوامل ضدخوردگی، آنزیم ها، نرم کننده ها و مات کننده ها هستند. [۱]

۱-۳- تمیز کردن سطح

عبارت است از آزاد سازی سطح از آلاینده های شیمیایی، فیزیکی و مکانیکی. آلاینده ها شامل خاک و یا دیگر ناخالصی ها هستند که در زمان تولید و یا شکل گیری یک سطح جدید از مواد در طول فرایند به عنوان یک ماده خارجی به سطح مواد می چسبند.

۱-۴- طبقه بندی آلاینده ها

۱- آلاینده های آلی: شامل روغن های موتور، مایعات و روغن های به کار رفته در برش و ماشینکاری، اثر انگشت، کربن، رسانه های آلی در سمباده، واکس، روغن های سیلیکون، مواد سرد کننده، پلیمرها، چسب ها، رنگ، جوهر و ...

۲- آلاینده های معدنی: شامل اکسید های فلزی مختلف در سمباده، نمک های غیر آلی، گرد و غبار و غیره می باشند.

۳- ذرات معلق: شامل بقاوی زیستی محیطی، پوست و پولک و لوازم آرایشی مو و غیره می باشد.

۱-۵-تعريف اولتراسونیک

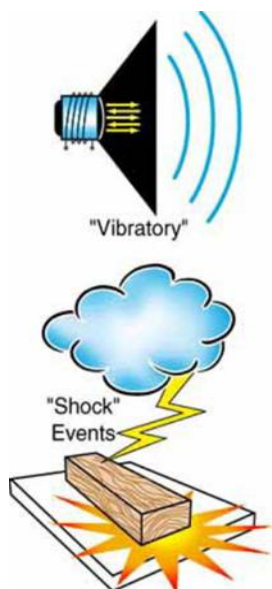
اولتراسونیک علم امواج صوتی بالاتر از محدوده شنوایی انسان است. فرکانس یک موج صوتی، درجه یا بلندی صدا می باشد. فرکانس‌های پایین تولید صدای پایین یا بم را می کند و فرکانس‌های بالا تولید صدای بالا و یا صدای زیر را می کند [۲].

۱-۵-۱-تئوری برای امواج صوتی

به منظوره درک مکانیکی اولتراسونیکی، لازم است که در ابتدادرک اساسی از امواج صدا، چگونگی تولید و انتقال آنها در محیط بدست آورده شود. در فرهنگ لغت تعریف صدا به صورت انتقال ارتعاش از طریق محیط الستیک که ممکن است جامد، مایع و یا گاز باشد، بیان می شود.

۱-۵-۲-تولید امواج صدا

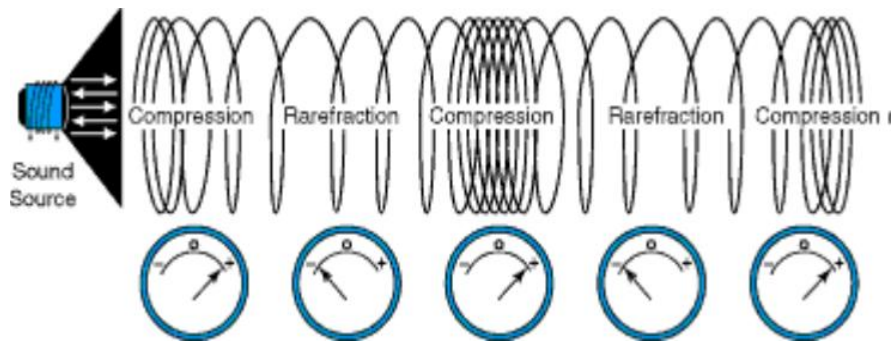
یک موج صوتی زمانی تولید می شود که در یک محیط رسانا و یا هادی، یک تغییر مکان متناوب



تولید شود، مانند یک شوک یا حرکت ارتعاشی. جابجایی هوا توسط مخروط بلند گویی رادیوئی یک مثال خوب از ارتعاش امواج صوتی تولید شده توسط حرکت مکانیکی است. یک بلند گوی مخروطی با حرکت به جلو و عقب هوا را در مقابل مخروط به طور متناوب فشرده و رقیق می کند و تولید امواج صوتی می نماید تا این که در نهایت این امواج از بین بروند. امواج صوتی دیگری نیز وجود دارند که توسط ایجاد یک شوک یا حادثه بوجود می آیند. مثلاً رعدی که بلاfangله بعد از تخلیه الکتریکی ابرها و در نتیجه تغییرات حجم هوا اتفاق می افتد (رعد و برق). یک نمونه دیگر از یک رویداد شوک، ممکن است صدای رویدادهای شوکی و حرکات ارتعاشی

شکل ۱-۱: تولید امواج صوتی ایجاد شده یک تخته چوب هنگامی که از ارتفاع به روی زمین می افتد، باشد

[۱-۱(۴)].



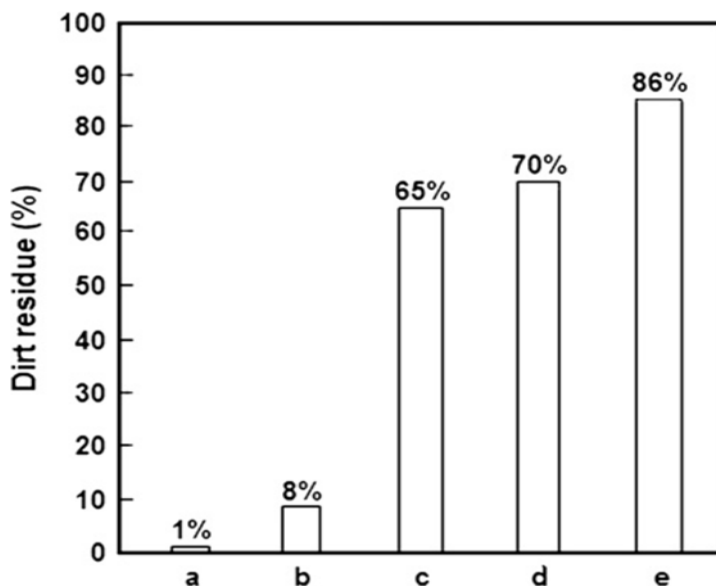
شکل ۱-۲: نمایش چگونگی تولید امواج صدا با استفاده از یک فنر [۴]

در شکل (۱-۲) برای درک بهتر چگونگی تولید امواج صدا از یک فنر استفاده شده است.

در محیط مولکول های هوا تحت تأثیر مولکول های مجاور قرار می گیرد و همانند حلقه های فنر بر هم دیگر اثر می کنند. منبع صدا در این مدل در سمت چپ قرار دارد. فشرده سازی تولید شده توسط منبع صدا منتشر می شود و در طول فنر این فشرده سازی توسط هر سیم پیچ به سیم پیچ مجاور منتقل می شود. در یک نقطه از منطقه فشرده سازی فشار متوسط مثبت است و در منطقه دیگر در منطقه ترقیق فشار متوسط منفی است. باید به این نکته توجه داشت که اگر چه موج از انتهای فنر به جاهای دیگر منتقل می شود، حلقه های تکی فنر در همان موقعیت خود باقی می مانند و جابجایی فقط به عنوان راهی برای عبور موج می باشد، در نتیجه هر سیم پیچ قسمت اول فشرده سازی را به سیم پیچ بعدی منتقل می کند و سپس بخشی از ترقیق آن به سیم پیچ بعدی منتقل می شود. به همان ترتیب در هر نقطه ای که صدا ایجاد می شود به طور متناوب فشرده سازی و ترقیق رخ می دهد و موج صوتی انتقال می یابد [۴].

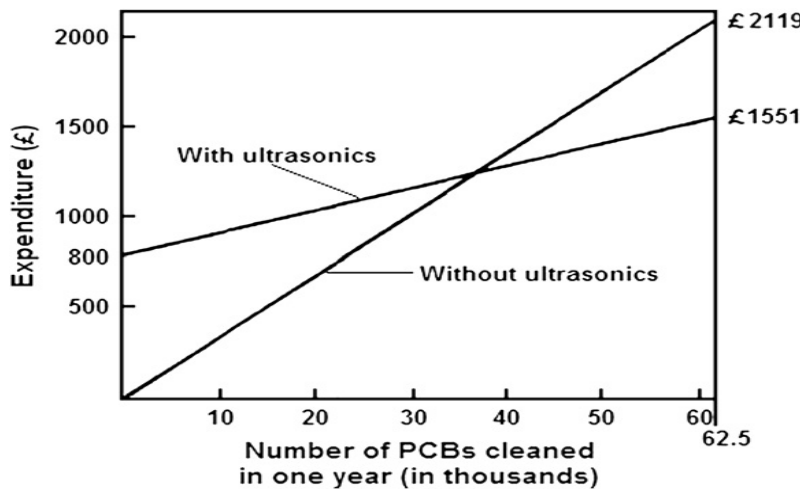
۱-۵-۳- مزایای تمیز کاری اولتراسونیکی

- ۱- با تمیز کردن اولتراسونیکی هزینه ها تا حد زیادی کاهش می یابد. هر چند هزینه لازم برای مصرف حلال و هزینه هایی مانند سرویس کردن دستگاه و قطعات افزایش می یابد اما این هزینه ها در مقابل کاهش هزینه های نیروی کار خیلی ناچیز می باشد.
- ۲- در استفاده از حمام اولتراسونیک برای تمیز کاری زمان کمتری مورد نیاز است.
- ۳- تمیز کردن اولتراسونیکی کارآمدتر از روش‌های مرسوم در حذف الودگی ها می باشد شکل (۱-۳).



شکل ۱-۳: a) شستشوی اولتراسونیک b) شست و شو با دست
c) بخار شویی d) حرکت شدید در آب e) اسپری

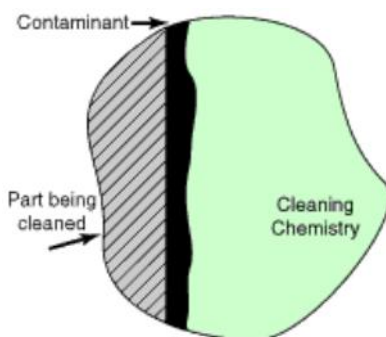
- ۴- موادی که توسط اولتراسونیک تمیز می شوند قابل اطمینان تر می باشند.
- ۵- هزینه های قطعات کاهش می یابد، چون قطعات کمتری به دلیل تمیز کاری نا کارآمد بیرون اند از خود، اولتراسونیک منافذ و سطوح داخلی قطعات پیچیده را نیز تمیز می کند [۲].



شکل ۱-۴: هزینه تمیز کردن تخته مدار دستگاه چاپ توسط الكل در مقایسه با دستگاه اولتراسونیک

۶- تمیز کردن در اکثر موارد مستلزم آن است که یک آلاینده حل یا جابجا و یا هر دو مورد صورت بگیرد. اثر مکانیکی انرژی مافوق صوت هم در انحلال و هم در سرعت جابجایی ذرات می تواند مفید واقع شود

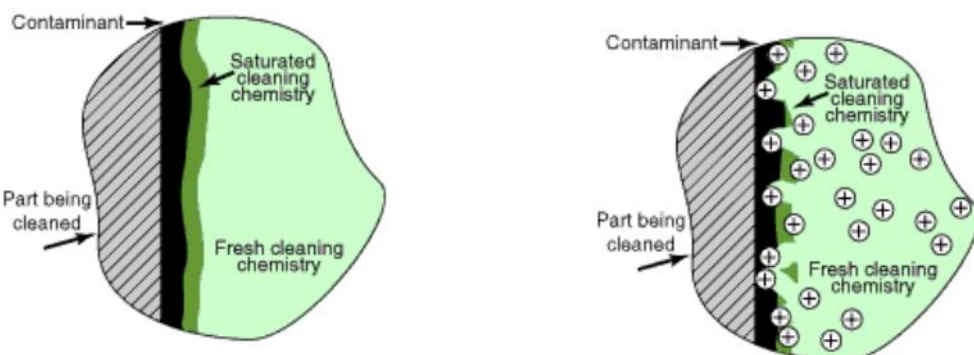
. شکل (۱-۵).



شکل ۱-۵: تماس شوینده با سطح آلوده

۷- در از بین بردن یک آلاینده توسط حلal، لازم به تماس حلal با آلاینده و انحلال آلاینده در آن می باشد. فعالیتهای تمیز کننده گی تنها در حد فاصل بین مواد شیمیایی و آلاینده صورت می گیرد. از آنجایی که حلal شیمیایی آلودگی را حل می کند، در حد فاصل حلal و آلاینده یک لایه اشباع ایجاد می شود. هنگامی که این اتفاق می افتد عمل تمیز کردن متوقف می شود، چون مواد شیمیایی دیگر

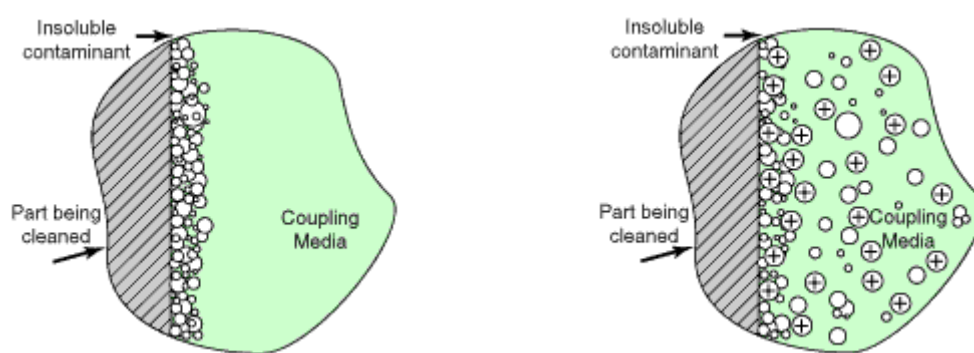
اشباع شده و نمی تواند به آلاینده حمله کند و مواد شیمیایی تازه ای باید به سطح آلوده برسد. کویتاسیون و انفجار ها از داخل به طور مؤثر لایه اشباع شده را جابجا می کنند و اجزاء نفوذ مواد شیمیایی تازه را به سطح آلوده می دهند شکل های (۱-۱۶) و (۷-۱).



شکل ۱-۶: لایه اشباع حلال و توقف تمیز کننده گی

شکل ۱-۷: جابجا شدن لایه اشباع توسط کویتاسیون

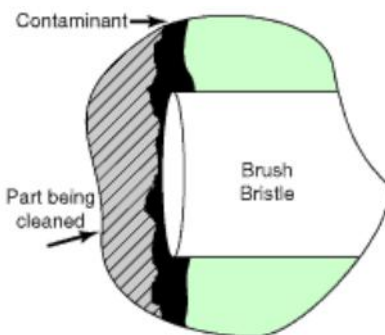
۸- برخی از ذرات آلاینده توسط نیروهای یونی مستحکم به سطح می چسبند، کویتاسیون و انفجار اولتراسونیکی این نیروهای مستحکم را نیز سست می کند و ذرات آلاینده را جابجا و حذف می کند
شکل های (۱-۸) و (۱-۹).



شکل ۱-۸: آلودگی سطح با ذراتی که چسبندگی بالایی دارند

شکل ۱-۹: تأثیر پدیده کویتاسیون در سست کردن نیروهای مستحکم ذرات آلاینده

۹- در تصاویر بالا سطح تخت و صاف نشان داده شده ولی در واقعیت چنین سطوحی به ندرت دیده می شوند و سطوح اغلب زبر بوده و دارای پستی و بلندی های ریز می باشد. در شکل زیر نشان داده شده که چرا انرژی اولتراسونیکی در افزایش تمیز کاری مؤثرتر از دیگر تمیزکننده ها مانند اسپری، مسوک زدن ، هوادهی و غیره می باشد شکل(۱۰-۱)[۴].



شکل ۱۰-۱: کارآمدی اولتراسونیک در پاک سازی سطوح خشن

۱-۵-۴- مضرات تمیز کاری اولتراسونیکی

تمیزکاری اولتراسونیکی مزیت بزرگی است اما مضراتی نیز دارد، مانند خوردگی فلزات در آن. کویتاسیون چنان نیروی بزرگی را داخل حمام به وجود می آورد که حتی می تواند سخت ترین سطوح مانند: کوارتز، سیلیکون و آلومینا را هم از بین ببرد.

۱-۵-۵- مواد قابل تمیز کاری توسط دستگاه اولتراسونیک

این مواد شامل فلزات، شیشه و سرامیک می باشند. اولتراسونیک می تواند با به کار گیری محلول شوینده مناسب، تراشه ها، ترکیبات سمباده، گریسها و غیره را از سطح تمیز کند[۴].